

酸素移動に関する一考察

東北大学 正〇高橋克夫
同 學 遠藤銀朗
東北工大 富山重久

1. 諸言

ガス吸収速度は、濃度推進力と物質移動係数の積で表わされ、液体本体中の溶解ガスの濃度変化で表現すれば、(1)式のようになる。 K_L は液体本体の水理条件、たとえば、流速、水深、河床勾配によって大きく変化し、また液体

$$\frac{dc}{dt} = K_L \cdot \frac{A}{V} (C_s - C_e) \quad \dots (1) \quad , \quad K_{L,t} = (K_{L,20^\circ}) \theta^{(t-20)} \quad \dots (2)$$

の温度つまり水温によっても変化し得るとのと考えられている。そして K_L に対する温度補正式が(2)式の形式で多くの研究者によって報告されており、研究者によって係数 θ の値は多少異なる。本実験では、 K_L の温度依存性について、従来のガス吸収理論のモデルに含まれておられる分子拡散係数(D_m)に注目しその分子拡散係数の関数形に含まれている物理量 K_L とのような関係で結びつけられるかを実験的に研究したりのである。

2. 物質移動係数に関する物性値の選択

ガス吸収に関する従来からの研究のいくつかを表-1に示した。この諸モデルの L (膜厚), T (更新率)等は液体本体の水理的条件を表現しているものと考えられ、これらを水理量と結び付けることは種々の形で行われておる。またこれらのモデル式には D_m が含まれてありこれが乱流場の水系に適用することは問題があるのではないかと筆者は考えていたが、 D_m を K_L に対する温度効果の関数と考えることもできるのではないかと思われる。しかし各温度における D_m の値を得ようととしても実測値はいくつかの温度の場合に記されており、その値は研究者によって異なっている。分子拡散係数に関して理論式も提案されているが充分とはいいかないのが現状である。本実験の解析の上で、 D_m に関して Nernst-Einstein の式を用い、 $D_m \propto \frac{T}{\mu}$ の関係が成立するものとする。つまり D_m は膜厚と温度にそれぞれ1次の関係がある。そして K_L と D_m が成立するものと見なして、結局 K_L に対して(3)式が成り立つものと考える。ここで Nernst-Einstein の式の $D_m \propto K_L$ に置きかえる根拠は明らかではないが、たとえば二重膜説の場合には、 $K_L \propto (D_m \propto \frac{T}{\mu})^{\frac{1}{2}}$ と定め(3)式が成り立つ。しかし浸透説その他については、 $K_L \propto (\sqrt{D_m} \propto \frac{T^{0.5}}{\mu^{0.5}})$

$$K_L \propto \frac{T}{\mu} \quad \dots (3)$$

となるゆえで(3)式は成立しない

3. 実験装置

実験装置を図-1に示す。蒸留水500mlを入れ

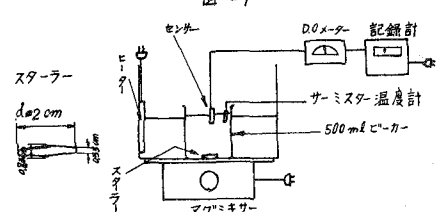
たビーカーを投込みヒーターでコントロールした

恒温槽(塗化ビニール製)内に入れたものである。温度変化の範囲は15, 20, 25, 30, 35°Cの5段階で行なった。水温の測定はリミスター温度計を用いた。実験はビーカーの中に図-1のスターラーを入れマグミキサー一定の回転を与えた。回転数の範囲は0(静水), 152~164, 362~400, 716~

800 rpmである。この回転数はストロボスコープで測定した。本実験で用いたマグミキサーおよびスターラーは回転数が不安定で本

実験のような物質移動係数の微妙な変化を得ようとする時にはこのすくはないと考えられた。溶存酸素の測定には回転がある場合の実験ではバックマン777型溶存酸素計およびそれに接続

		表-1
Leviss & Whitman	$K_L = \frac{D_m}{L}$	(重複膜説)
Higbie	$K_L = 2\sqrt{\frac{L}{D}}$	(浸透説)
O'Connor & Dobbins	$K_L = \sqrt{D_m \cdot \text{const.} \cdot T^{0.5}}$	
村上の式	$K_L = 3.21 \times 10^5 \cdot (T^{0.5} \cdot D_m^{0.5} \cdot \mu^{-0.5}) \cdot (10^6 / HR)^{0.5}$	



いた記録計で行なった。また静水の場合には、10個の同一(500ml)のビーカーを恒温水槽の中に並べ一定間隔にサンプリングを行ない、ワインクラー法を用いて測定した。また、同時にベックマン Fieldlab 溶存酸素計を用いても測定した。両者の測定値にはほとんど差が認められなかった。

4. 実験方法 および計算方法

所定の温度に保った蒸留水とNaカスで脱酸素し、その後の溶存酸素の回復をDOY-ターおよびワインクラー法を用いて測定した。酸素移動係数については(1)式の $K_{La} (= K_L \frac{A}{V})$ として算出した。各回転数の水面形変化による接触面積の変化は無視した。酸素移動速度(N)は $N = K_{La} \cdot C_S$ として求めた。つまり溶存酸素が零の場合の吸収速度である。また粘性係数について日本学会編「物理実験指導書」を用いた。また K_{La} の温度効果の影響としてはアンドレードの式が成り立つものとして E/R を求めた。(4)式。搅拌レインルズ数は(5)式で求めめた。

$$K_{La} \propto e^{-\frac{E}{RT}} \quad \dots (4) \quad Re = \frac{d^2 \bar{N} P}{60 \mu} \quad \dots (5) \quad (d=2\text{cm}, \bar{N}: \text{スピンドルの回転数}(\text{rpm}))$$

5. 実験結果

図-2に本実験より得られたデータを回転数E/ラメータとして $K_{La}(\text{l/mm})$ と $T(^{\circ}\text{C})$ との関係として表わした。同一条件で数回データを取ったが図に見られるように多少のバラツキが見られた。しかし温度の増加が K_{La} の増加をもたらすという傾向は見られる。これらのデータから(3)式のθを各回転数別に表わすと、表-2に示される値になる。静水の場合特に大きな値を取ることが注目された。これらと従来の研究者によって提出された値 ($\theta = 1.016 \sim 1.047$) にくらべるとほぼ一致しているが、静水の場合特に大きな値が得られていく。また(4)式の E/R も同時に表-2に示してある。(3)式のμの関係を知るために図-3に $\log K_{La} - \log \mu$ の関係を示した。 $K_{La} \propto \mu^\alpha$ を仮定し、指數αを求めたのが同じく表-2に示してある。静水の場合には $\alpha = -2.64$ となり(3)式の場合のμに対する指數-1にくらべてほど遠い値を示している。しかし搅拌がある場合には平均値として-1.11となり近い値を示している。そこで静水の場合には、 $K_{La} \propto \mu^{-2.64}$ 、搅拌実験の場合には $K_{La} \propto \mu^{-1.11}$ とそれぞれ粘性(μ)と関係付けられるものとした。そして K_{La} と T の関係を知るために、前述の関係が成立するものとして、図-4に搅拌の場合、 $\log K_{La}$ と $\log \frac{T}{\mu}$ が示すか、静水の場合、 $\log K_{La}$ と $\log \frac{T}{\mu^{-2.64}}$ の関係を示して、この両対数の図から搅拌および静水の場合それぞれ $K_{La} \propto \mu^{-1.11}$ および $K_{La} \propto \mu^{-2.64}$ の関係式を仮定し、指數βを求めたのが表-2に示してある。この結果より特に静水の場合には1.00であり搅拌の場合にも0.89であり、ほぼ1と表われる。これは先の(3)式の場合のTの指數上に近い値を示し、Tに關して一次の関係が得られた。以上まとめると(6)式となる。

$$\left. \begin{aligned} \text{静水の場合: } & K_{La} \propto \mu^{-2.64} \\ \text{搅拌の場合: } & K_{La} \propto \mu^{-1.11} T^{0.89} \end{aligned} \right\} \dots (6)$$

(6)式から、 K_{La} は粘度に大きく影響され、絶対温度(K)には、我々があつかった温度範囲ではほとんど影響されないことがわかる。一方酸素吸収におけるMLSS濃度の影響として $K_{La} \propto \mu^{-0.59}$, $\mu^{-0.334}$, $\mu^{-0.25}$ 等の関係が得られているがこのことからさらに細かい検討が必要であると考えている。図-5は $N_{do}/N_{do_c} - 1$ (c) の関係が示されており、同時に C_{S0}/C_{S0c} の比の値も示した。つまり溶存酸素が零の場合の吸収速度(N)は温度の増加とともに増加するか、あるいはほとんど変化がないことがわかる。図-6に $\log K_{La}$ と $\log Re$ ($= \frac{d^2 \bar{N} P}{60 \mu}$)との関係を示した。

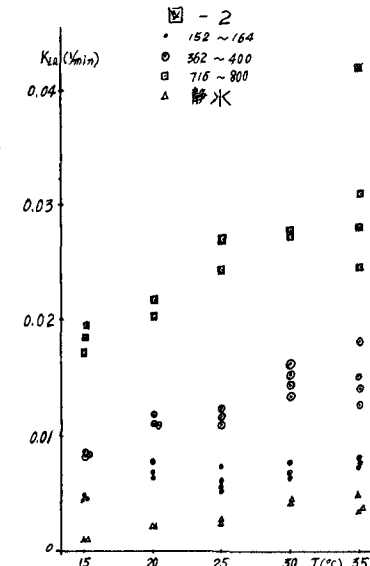


表-2

	θ	E/R	α	β
静水	1.060	5020.9	-2.64	1.00
152~164	1.022	1959.4	-0.97	0.77
362~400	1.028	2489.9	-1.24	0.98
716~800	1.026	2448.0	-1.14	0.91

図 - 3

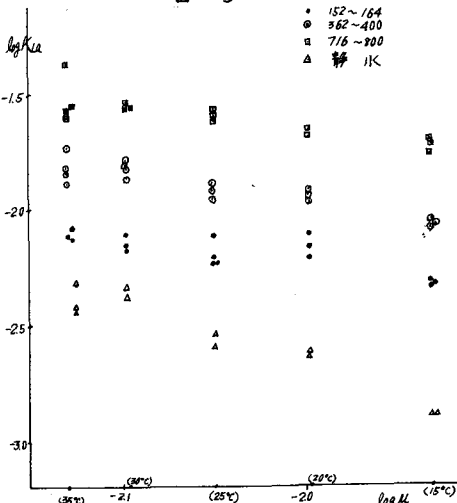
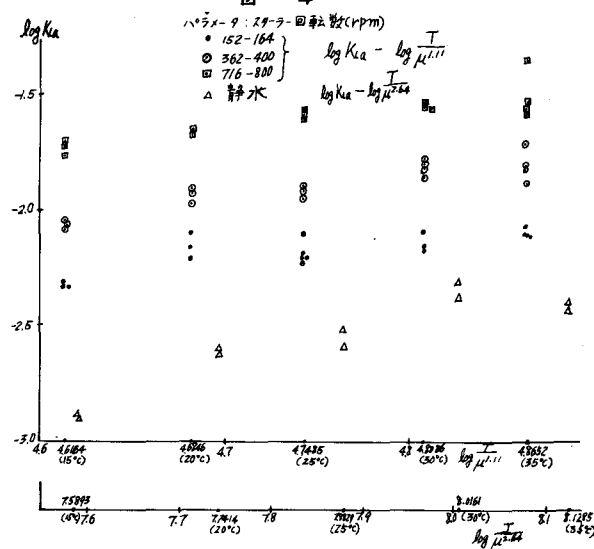


図 - 4



K_{La} はその中に μ^{-1} の項が入っており搅拌されていゝ場合には K_{La} に対してよい指標と考えられる。 $K_{La} \propto Re^{\beta}$ の β を求めたところ 0.87 であった。

6.まとめ

K_{La} の温度依存性についての実験の結果をまとめ次の結果を得られた。

- (1) すくは静水で 1.060、搅拌のある場合で平均は 1.025 であった。
- (2) K_{La} に対する温度依存性についての半価性値として μ を選び次の結果を得た。

$$K_{La} \propto \mu^{-0.64} T \quad (\text{静水の場合})$$

$$K_{La} \propto \mu^{-1.1} T^{0.89} \quad (\text{搅拌の場合})$$

- (3) 吸収速度(N)は温度の増加とともに多少増加するが、ある一定ほど変化しないことがわかった。

- (4) K_{La} と搅拌レイノルズ数とはよい相関が認められた。

・謝辞

本実験を行なうにあたり協力を得た東北大学学生、牧野健二君に感謝いたします。

・記号

$$K_{La} = \text{総括酸素移動容量係数 } (\text{ml}/\text{min})$$

$$C_L = \text{液本体中の溶解酸素 } (\text{mg/l})$$

$$C_{Lst} = t^\circ \text{C} \text{における飽和溶解酸素 } (\text{mg/l})$$

$$N_{ec} = t^\circ \text{C} \text{における酸素吸収速度 } (\text{mg/l} \cdot \text{min})$$

$$N = \text{スター-ラー回転数 } (\text{rpm})$$

$$d = \text{スター-ラーの長さ } (\text{cm}), \text{ 麦氏度 } (\text{poise})$$

・参考文献

- 1) R. B. Bird : Transport Phenomena ; WILEY TOPPAN, pp.513
- 2) 第4回衛生工学研究討論会 講演論文集。井出哲夫、永松定樹 P.9 (1967)

図 - 5

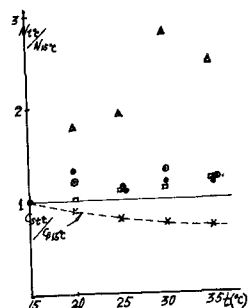


図 - 6

